

**МІНІСТЕРСТВО ВНУТРІШНІХ СПРАВ УКРАЇНИ
ХАРКІВСЬКИЙ НАЦІОНАЛЬНИЙ УНІВЕРСИТЕТ ВНУТРІШНІХ
СПРАВ
КРЕМЕНЧУЦЬКИЙ ЛЬОТНИЙ КОЛЕДЖ**

Циклова комісія аеронавігації

ТЕКСТ ЛЕКЦІЇ

з навчальної дисципліни
«Принципи польоту (Аерогідрогазодинаміка)»
обов'язкових компонент
освітньо-професійної програми першого (бакалаврського) рівня вищої освіти
Аеронавігація

за ТЕМОЮ 5. «Основи теорії примежового шару»

Харків 2021

ЗАТВЕРДЖЕНО

Науково-методичною радою
Харківського національного
університету внутрішніх справ
Протокол від 23.09.2021 № 8

СХВАЛЕНО

Методичною радою Кременчуцького
льотного коледжу Харківського
національного університету внутрішніх
справ
Протокол від 22.09.2021 № 2

ПОГОДЖЕНО

Секцією Науково-методичної ради
ХНУВС з технічних дисциплін
Протокол від 22.09.2021 № 8

Розглянуто на засіданні циклової комісії аеронавігації, протокол від
10.09.2021 № 2

Розробник: професор навчального відділу КЛК ХНУВС, викладач
циклової комісії аеронавігації, к. т. н., с. н. с., спеціаліст вищої категорії,
викладач – методист, Тягній В. Г.

Рецензенти:

1 Професор Кременчуцького Державного національного
університету ім. Михайла Остроградського, д. ф - м. н., професор, лауреат
Державної премії України в галузі науки і техніки, Єлізаров О. І.

2 Викладач-методист циклової комісії природничих дисциплін КЛК
ХНУВС, к. т. н., доцент, спеціаліст вищої категорії, лауреат Державної
премії України в галузі науки і техніки, Лісовенко В. Д.

ЛЕКЦІЯ 5.1: ТЕОРІЯ ПОТОКУ В'ЯЗКОЇ РІДИНИ І ГАЗУ

План лекції:

- 1 Загальні положення про течію в'язкого потоку рідини і газу.
- 2 Структура примежового шару.
- 3 Умови зміни структури примежового шару. Поняття про число Рейнольдса.

Рекомендована література:

Основна література:

- 1 Котельніков Г. Н., Мамлюк О. В., Аеродинаміка літальних апаратів. Підручник. -К.: Вища школа, 2002. – 255 с.
- 2 Навчальний посібник «Аеродинаміка та динаміка польоту вертольота». Частина І, «Аеродинаміка вертольота» / А. Г. Зінченко, О. О. Бурсала, О. Л. Бурсала та ін.; за заг. ред. А. Г. Зінченка. – Х.: ХНУПС, 2016. – 402 с.: іл.
- 3 Навчальний посібник «Аеродинаміка та динаміка польоту вертольота». Часть II, «Динаміка польоту вертольота». / А. Г. Зінченко, І. Б. Ковтонюк, В. М. Костенко та ін.; за заг. редакцією В. М. Костенка та І. Б. Ковтонюка. – Х.: ХУПС, 2010. – 272 с.: іл.
- 4 Опорний конспект з навчальної дисципліни «Аеродинаміка, динаміка польоту та практична аеродинаміка». Частина І «Аеродинаміка вертольоту». Автор: Пчельников С. І.
- 5 Опорний конспект з навчальної дисципліни «Аеродинаміка, динаміка польоту та практична аеродинаміка». Частина II «Динаміка польоту». Автор: Пчельников С.І.
- 6 Аеродинаміка літальних апаратів: навчальний посібник /О.О. Бурсала. А. Г. Зінченко, Є. Ю. Іленко, І. Б. Ковтонюк, А. Л. Сушко – Х.: ХУПС, 2015. - 333 с.: іл.
- 7 Лебідь В. Г., Миргород Ю. І., Аерогідрогазодинаміка. Підручник Х.: ХУПС, 2006. – 350 с.

Допоміжна література:

- 1 Мхитарян А. М., Аеродинаміка. Підручник. - М.: Машинобудування, 1968. – 430 с.
- 2 Кокуніна Л. Х., Основи аеродинаміки. Підручник.-М.: Транспорт, 1976.– 208 с.
- 3 Прицкер Д. М., Сахаров Г. И., Аеродинаміка. Підручник. - М.: Машинобудування, 1968. – 310 с.

- 4 Володко А. М., Вертолiт в особливiй ситуацiї. Пiдручник. – М.: Транспорт, 1992. – 262 с.
- 5 Володко А. М., Безпека польотiв вертольотiв. Пiдручник. – М.: Транспорт, 1981. – 224 с.
- 6 Володко А. М., Горшков В. А. Вертольоти: Довiдник по аеродинамiцi, динамiцi польоту вертольоту. Навчальний посiбник. – М.: Воєнвидат, 1992. – 557 с.
- 7 Алаян О. М., Ромасевич В. Ф., Аеродинамiка i динамiка польоту вертольоту. Пiдручник. - М.: Воєнвидат, 1973. – 446 с.
- 8 Бураго Г. Ф. Аеродинамiка, Ч.1. Пiдручник. - М.: ВПА iм. М. Є. Жуковського, 1957. – 350 с.
- 9 Вотяков В. Д., Аеродинамiка ЛА i гiдравлiка iх систем, Ч.1. Аеродинамiка. Пiдручник. - М.: ВПА iм. М. Є. Жуковського, 1972. – 652 с.
- 10 Дьяченко А. А., Лiтальнi апарати i безпека польоту. Пiдручник. - М.: ВПА iм. М. Є. Жуковського, 1987. – 626 с.
- 11 Базов Д. И., Аеродинамiка вертольотiв. Пiдручник. - М.: Транспорт, 1972. – 184 с.
- 12 Ромасевич В. Ф., Самойлов Г. А., Практична аеродинамiка вертольотiв. Пiдручник. - М.: Воєнвидат, 1984. – 484 с.
- 13 Володко А. М., Основи льотної експлуатацiї вертольотiв. Аеродинамiка. Пiдручник. - М.: Транспорт, 1984. – 256 с.
- 14 Ковалев Е. Д., Удовенко В. А., Основи аеродинамiки i динамiка польоту легких вертольотiв. Навчальний посiбник. - Х.: КБ Аерокopter, 2008. – 280 с.
- 15 Нашукевич А. В., Аеродинамiка лiтака. Пiдручник. - М.: Воєнвидат, 1966. – 208 с.
- 16 Мхитарян А. М., Збiрник задач по курсу “Аеромеханiка”. Навчальний посiбник - К.: КПЦА, 1976. – 100 с.

Нормативна лiтература:

- 1 ДСТУ 22499 - 77. Апарати винтокрилi. Механiка польоту в атмосферi. Термiни. Визначення i лiтернi позначення. Видавництво стандартiв, 1981.
- 2 ДСТУ 23281 - 78. Аеродинамiка летальних апаратiв. Термiни. Визначення i лiтернi позначення. Видавництво стандартiв, 1981.
- 3 ДСТУ 20058 - 80. Динамiка лiтальних апаратiв в атмосферi. Термiни. Визначення i лiтернi позначення. Видавництво стандартiв, 1976.
- 4 ДСТУ 23199 - 80. Газодинамiка. Термiни. Визначення i лiтернi позначення. Видавництво стандартiв, 1978.

- 5 ДСТУ 221890 - 76. Фюзеляж, крила і оперіння літаків і вертольотів. Терміни. Визначення і літерні позначення. Видавництво стандартів, 1976.

ЛЕКЦІЯ 5.1: ТЕОРІЯ В'ЯЗКОГО ПОТОКУ РІДИНИ І ГАЗУ

План лекції:

- 5.1.1 Загальні положення про течію в'язкої рідини і газу
 - 5.1.2 Структура примежового шару
 - 5.1.3 Умови зміни структури примежового шару.
- Поняття про число Рейнольдса

5.1.1 Загальні поняття про течію в'язкої рідини і газу

Примежовим шаром називається тонкий шар газу навколо обтікаємого твердого тіла, в якому швидкості руху частинок рідини змінюються від нульового значення до величини рівної місцевої швидкості незбуреного потоку, тобто має місце градієнт швидкості по товщині примежового шару ($\frac{dV_x}{dy}$) (рис 5.1.1).

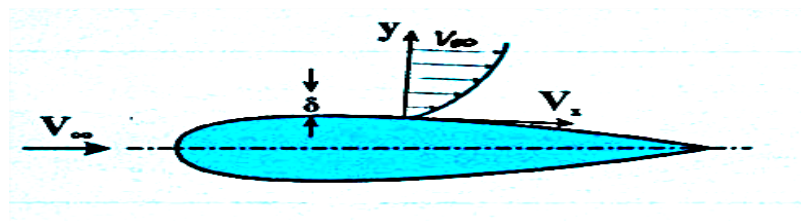


Рис 5.1.1 Схема течії в примежовому шарі

$$V_\delta = 0,99 V_{id.0.} \sim V_\infty$$

де

$V_{id.0.}$ - швидкість яку мали б частинки газу на межі примежового шару, якби газ був ідеальним.

Внаслідок властивостей в'язкості газу близько розташовані до тіла шари газового потоку гальмуються. Гальмівна дія обтікаємого тіла в міру віддалення шарів газу від його поверхні поступово зменшується і на деякій відстані припиняється практично повністю. Товщина примежового шару на поверхні профілю збільшується від носової частини обтікаємого тіла до хвостової (рис 5.1.2).

Товщина примежового шару залежить від:

- форми обтікаємого тіла; положення тіла в газовому потоці (кута атаки);
- стану поверхні тіла (шорсткості поверхні);

– швидкості газового потоку; масової густини газу і т.д.

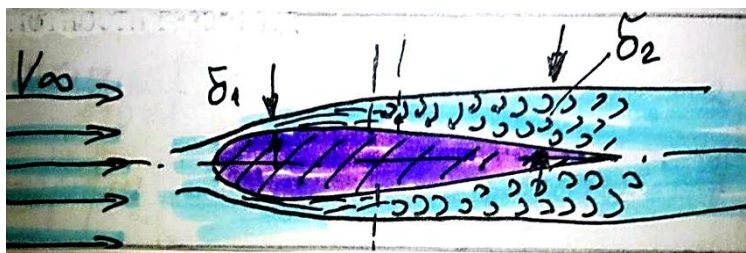


Рис 5.1.2 Схема зміни товщини примежового шару по довжині профілю

Поблизу передньої кромки обтікаємого тіла товщина примежового шару незначна і дорівнює кільком міліметрам, а в хвостовій частині профілю товщина шару збільшується і досягає приблизно **100 мм**. Чим менше швидкість потоку і рівніша поверхня тіла, тим примежовий шар тонше.

Через різницю швидкостей руху струйок над виділеною частинкою і під частинкою виникає пара ковзних сил тертя $\Delta F_{тр.}$, що приводить до появи моменту обертання, що визиває привід частинок повітря в обертальний рух, що сприяє утворенню вихорів (рис 5.1.3).

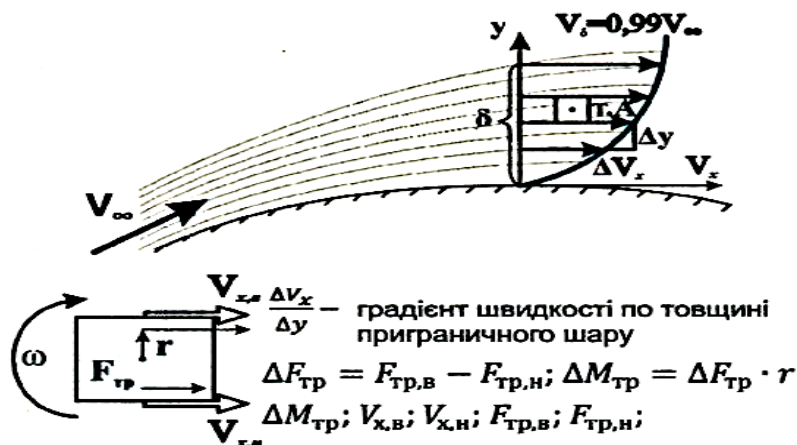


Рис 5.1.3 Схема виникнення вихрового руху в примежовому шарі

Основною характеристикою примежового шару служить градієнт

швидкості $\frac{\Delta V_x}{\Delta y}$, $\frac{м}{с * мм}$

де

ΔV_x - різниця поздовжніх складових швидкостей руху сусідніх шарів потоку повітря, м/с;

Δy – відстань між сусідніми шарами повітряного потоку по одній нормалі товщини примежового шару, мм.

Гradient швидкості характеризує зміну швидкості потоку на **1 мм** товщини примежового шару. Нерівномірність розподілу швидкостей по товщині примежового шару зберігається і за обтікаємим тілом в вихровому сліді. Швидкість потоку в вихровому сліді в міру віддалення від обтікаємого тіла вирівнюється і стає рівною швидкості незбуреного потоку V_{∞} .

У примежовому шарі внаслідок в'язкості відбувається зміна основних фізичних параметрів газу: V_{δ} , p_{δ} , T_{δ} , ρ_{δ} - швидкість, тиск, температура, масова щільність (рис 5.1.4).

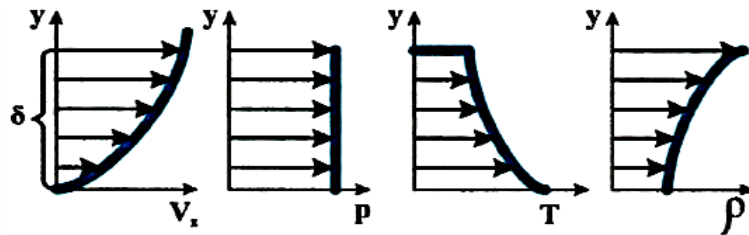


Рис 5.1.4 Характер зміни параметрів повітря по товщині примежового шару

де

V_{δ} - зміна швидкості газового потоку по товщині примежового шару відбувається внаслідок властивостей в'язкості, таким чином має місце gradient швидкості;

p_{δ} - тиск газу залишається постійним по товщині примежового шару, з огляду на невелику його товщину;

T_{δ} - температура шару збільшується по мірі наближення до обтікаємого тіла, внаслідок гальмування частинок газу. Кінетична енергія прямолінійного руху частинок газу в примежовому шарі переходить в теплову енергію хаотичного руху молекул газу, виникає ефект аеродинамічного нагріву поверхні тіла.

ρ_{δ} - розподіл масової густини по товщині примежового шару здійснюється згідно рівняння стану газу за умови постійного тиску ($p = \text{const}$).

$$\frac{p_{\delta}}{\rho_{\delta}} = R \rightarrow \downarrow T_{\delta} \rho_{\delta} = \frac{p_{\delta}}{RT_{\delta} \uparrow}$$

По мірі наближення до поверхні обтікаємого тіла густина газу зменшується.

1 Задачі: 5.1.1:

- 1) Визначити як зміниться масова витрата рідини при швидкості течії $V = 70 \text{ см/с}$, масова густина $\rho = 820 \text{ кг/м}^3$ при зміні діаметру трубопроводу від **25 см** до **50 см**.

- 2) При обтіканні крила повітряним потоком площа струменя зменшилась у **2 рази**. Визначити швидкість струменя і швидкісний тиск у найвужчому перерізі, якщо швидкість польоту літака рівняється **480 км/год.** на рівні земної поверхні.

5.1.2 Структура примежового шару

Розглянемо обтікання твердого тіла газовим потоком. В спектрі обтікання можна виділити 4-и характерні зони течії в примежовому шарі (рис 5.1.5):

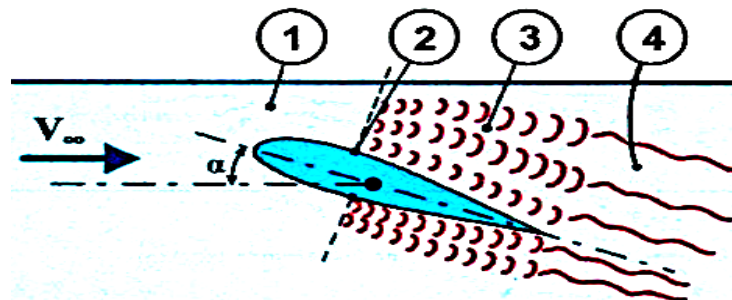


Рис 5.1.5 Схема структури примежового шару

Зона 1 - від передньої кромки обтікаємого профілю і до його максимальної товщини. У цій зоні товщина шару мінімальна, течія шарувата, струйки газу між собою не перемішуються. Така течія називається ламінарною.

Зона 2 - це область переходу ламінарної структури примежового шару в турбулентний. Лінія «П»- це лінія по товщині примежового шару переходу ламінарної структури в турбулентну.

Зона 3 - це область примежового шару в якій рух частинок газу обертально - поступальний з перемішуванням частинок газу по товщині примежового шару і носить назву турбулентної течії.

Зона 4 - це область течії за межами обтікаємого тіла, і носить назву спутного струменя (*вихровий слід*).

По мірі руху частинок газу впродовж поверхні тіла вплив в'язкості газу поступово призводить до руйнування ламінарної структури примежового шару, потім відбувається інтенсивне перемішування частинок газу по товщині примежового шару і утворюється турбулентна течія в примежовому шарі. Згідно фізичної природи виникнення ламінарного і турбулентного шарів, розподіл швидкостей потоку газу по товщині поримежового шару буде мати різний вигляд (рис 5.1.6).

У ламінарному примежовому шарі рух газу відбувається без взаємного проникнення одного шару в інший.

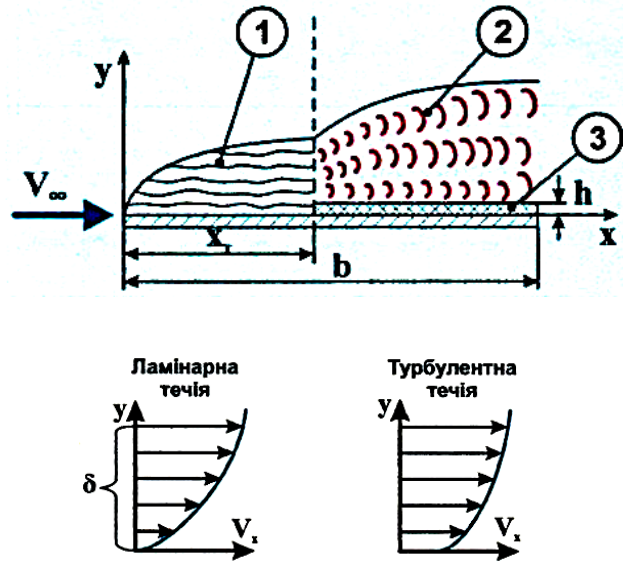


Рис 5.1.6 Схема структури газового потоку в примежовому шарі.
 1- ламінарний шар; 2 - турбулентний шар; 3 - ламінарний прошарок в турбулентному шарі; x_t - координата переходу ламінарного течії в турбулентний; h - товщина ламінарного підшару; l (b) - довжина пластини (хорда профілю).

Сила тертя залежить від інтенсивності зміни ковзної швидкості потоку по товщині примежового шару, тобто від градієнта швидкості $\frac{\Delta V_x}{\Delta y}$.

Ковзну напругу тертя при ламінарному режимі течії можна визначити за формулою закону внутрішнього тертя І. Ньютона:

$$\tau_l = \mu \frac{\Delta V_x}{\Delta y}$$

де

μ - динамічний коефіцієнт в'язкості, Па с.

У турбулентному примежовому шарі слоїста течія газу руйнується, частки газу крім прямолінійного руху у напрямку потоку мають обертальний рух і переміщення хаотично по товщині примежового шару, в результаті чого частинки газу рухаються по складним траєкторіям. При цьому виникає додатковий опір тертя, пов'язаний з переходом частинок газу з одного режиму течії на інший, що призводить до зміни (зменшення або збільшення) кількості руху рідини.

Ковзна напруга тертя при турбулентному режимі течії:

$$\tau_t = \rho * l^2 \left(\frac{\Delta V_x}{\Delta y} \right)^2$$

де

l - довжина шляху змішування частинок газового потоку, м;

ρ - масова щільність газу, кг / м³.

Розглянемо відносну зміну швидкості течії по товщині примежового шару (рис 5.1.7).

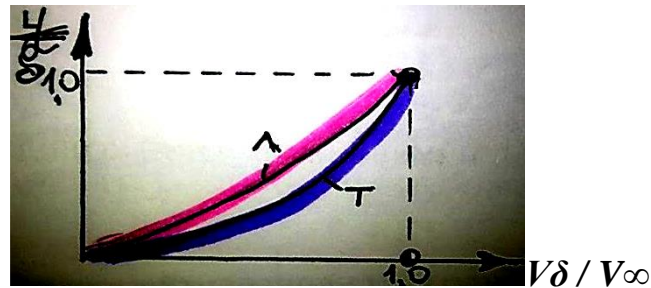


Рис 5.1.7 Схема зміни товщини примежового шару від швидкості течії

Швидкість течії газового потоку при ламінарній і турбулентній течії, можна визначити за формулами:

$$V_{\lambda} = V\delta \left[\left(\frac{3}{2} * \left(\frac{y}{\delta} \right) - \frac{1}{2} \left(\frac{y}{\delta} \right)^3 \right) \right]$$

$$V_T = V\delta \left(\frac{y}{\delta} \right)^{\frac{1}{7}}$$

Зміну товщини примежового шару і ковзної напруги тертя можна представити графічно по довжині плоскої пластини (рис 5.1.8):

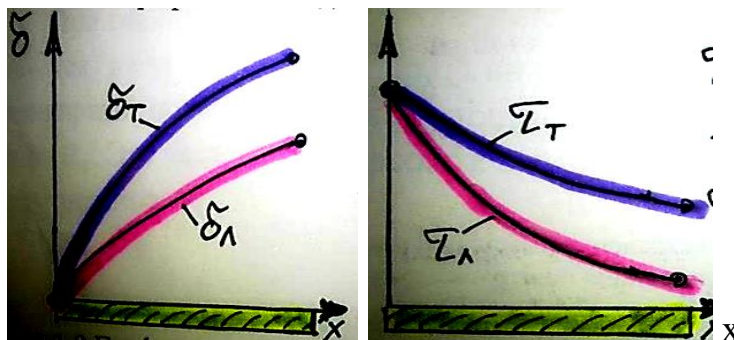


Рис 5.1.8 Графіки залежності товщини і ковзної напруги по довжині пластини

$$\delta_{\lambda} = 4,64 \sqrt{\frac{\nu * x}{V\delta}} = 4,64, \frac{x}{\sqrt{Re_{x}}}; \quad \delta_m = 0,37 \sqrt[5]{\frac{\nu * x^4}{V\delta}} =$$

$$0,37 \frac{x}{\sqrt[5]{Re_{x}}}$$

$$\tau_l = \frac{3}{2} \mu \frac{V\delta}{\delta_l} = \frac{3}{2} \rho \frac{V\delta^2}{Re, \delta}, \quad \tau_m = 0,0225 \rho V \delta^2 \frac{v}{V\delta^* \delta T}^{\frac{1}{4}} = 0,0225 \rho V \delta^2 \frac{1}{Re, \delta^*}^{\frac{1}{4}}$$

$$Re, x = \frac{V\delta^* x}{v} \text{ (по довжині пластини); } Re, \delta = \frac{V\delta^* \delta}{v} \text{ (по товщині примежового шару)}$$

З формул і графічних залежностей випливає, що товщина примежового шару від носика пластини до хвостика збільшується пропорційно:

- при ламінарній течії, $\delta_l \approx \sqrt{x} = (x^{\frac{1}{2}})$
- при турбулентній течії, $\delta_t \approx \sqrt[5]{x^4} = (x^{\frac{4}{5}})$

При цьому напруження тертя в примежовому шарі змінюється по мірі віддалення від носика обтікаємого тіла:

- при ламінарній течії, $\tau_l \approx \frac{1}{\sqrt{x}} = (\frac{1}{x^{\frac{1}{2}}})$
- при турбулентній течії, $\tau_t \approx \frac{1}{\sqrt[5]{x^4}} = (\frac{1}{x^{\frac{4}{5}}})$

2 Задачі: 5.1.2:

- 1) Визначити товщину і козну напругу в примежовому шарі при ламінарній структурі течії в місці максимальної товщина профілю при координаті $x = 0,5$ м, швидкість течії $V = 120$ км/год на висоті польоту $H = 1000$ м.
- 2) Визначити товщину і козну напругу в примежовому шарі при турбулентній структурі течії в місці максимальної товщина профілю при координаті $x = 0,5$ м, швидкість течії $V = 420$ км/год на висоті польоту $H = 2000$ м.

5.1.3 Умови зміни структури примежового шару. Характеристика числа Рейнольдса

Перехід ламінарного режиму течії в турбулентний здійснюється в певній зоні або лінії. Так як ми розглядаємо двомірну течію, то замість зони будемо розглядати точку або лінію переходу ламінарного примежового шару в турбулентний. Знати положення точки переходу ламінарної течії в турбулентну дуже важливо, тому що опір тертя істотно залежить від типу примежового шару (рис 5.1.9).

Так наприклад, при числах Рейнольдса $Re = 1 * 10^6$ опір тертя пластини при турбулентній течії в **14 разів** більше ніж при ламінарній течії.

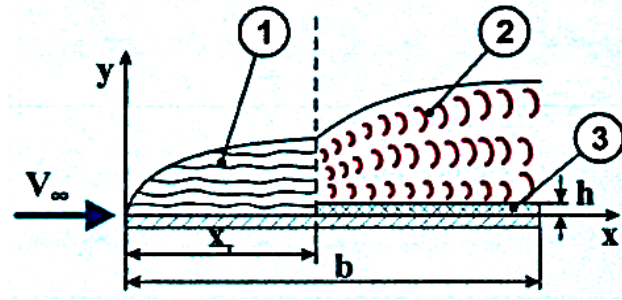


Рис 5.1.9 Схема зміни структури примежового шару

Основним фактором, який дозволяє визначити положення точки переходу з одного режиму течії на інший є число Рейнольдса. Крім цього на положення точки переходу впливають:

- стан поверхні обтікаемого тіла;
- розподіл нормального тиску по поверхні обтікаемого тіла;
- ступінь турбулентності набігаючого потоку.

При течії потоку від носика пластини до її хвостової частини число Рейнольдса (Re) збільшується через збільшення довжини пластини (координати x_T). В ході експериментів встановлено, що ламінарний режим течії переходить в турбулентний при певному значенні числа Рейнольдса (Re). Це число прийнято називати *критичним* числом Рейнольдса ($Re_{кр}$). Відповідно положення точки переходу залежить від критичного числа Рейнольдса:

$$Re_{ext} = Re_{кр}; \uparrow Re = \frac{V * b \uparrow}{\nu}$$

У дослідженнях встановлено, що при числі Рейнольдса $Re = 2320$ відбувається зміна структури примежового шару. Дослідним шляхом можна визначити координату точки переходу (x_T) і критичне число Рейнольдса ($Re_{кр}$).

Величина критичного числа Рейнольдса ($Re_{кр}$) залежить від:

- шорсткості поверхні обтікаемого тіла; стисливості газу;
- співвідношення температури обтікаемого тіла і незбуреного газового потоку;
- ступеня турбулентності набігаючого потоку.

Знаючи величину ($Re_{кр}$) можна визначити положення точки переходу (x_T) При різних швидкостях потоку і параметрах стану газу:

$$x_T = \frac{Re_{кр} * \nu}{V}$$

Відносне значення точки переходу можна визначити:

$$\bar{x}_T = \frac{x_T}{b} = \frac{Re_{кр} * \nu}{V * b} = \frac{Re_{кр}}{Re}$$

Як випливає з формули, точка переходу ламінарного режиму течії в турбулентний при збільшенні швидкості потоку зміщується вперед, тобто збільшується зона турбулентного течії. Фізично число ***Re*** характеризує ступінь впливу сил в'язкості на сили нормального тиску при русі тіл у в'язкому газовому середовищі і є відношенням сил тиску пропорційних (ρV^2) до сил в'язкого тертя пропорційних ($\mu \frac{V}{l}$).

Чим більша в'язкість середовища ($\nu \uparrow$) тим менше число Рейнольдса ($\downarrow R_e = \frac{V \cdot l}{\nu}$). Це означає, що при малих числах Рейнольдса (***Re***) роль в'язкості в розгляді аеродинамічних явищ досить велика, при великих числах (***Re***) - ця роль надзвичайно мала.

З Задачі: 5.1.3:

- 1) Визначити коефіцієнт кінематичної в'язкості повітря і число Рейнольдса на висоті **8000 м**, якщо коефіцієнт динамічної в'язкості на цій висоті рівняється **$1,457 \cdot 10^{-5} \text{ Н с/м}^2$** , швидкість літака рівняється **420 км/год**, діаметр фюзеляжу літака рівняється **5 м**.
- 2) Визначити число Маха і число Рейнольдса на висоті **9000 м**, якщо швидкість літака рівняється **900 км/год**, коефіцієнт динамічної в'язкості на цій висоті рівняється **$1,457 \cdot 10^{-5} \text{ Н с/м}^2$** , хорда крила рівняється **1,5 м**.
- 3) По трубопроводу діаметром **$d = 50 \text{ мм}$** і довжиною **$l = 10 \text{ м}$** рухається гас. Визначити напор ***H***, при якому виникає зміна ламінарного режиму течії на турбулентний. Коефіцієнт кінематичної в'язкості гасу **$\nu = 2,5 \cdot 10^{-6} \text{ м}^2/\text{с}$** .
- 4) Визначити діаметр трубопроводу, по якому подається рідина з витратами **$Q_w = 0,01 \text{ м}^3/\text{с}$** при умові забезпечення в ньому максимально-можливої швидкості зі збереженням ламінарного режиму течії, коефіцієнт кінематичної в'язкості рідини рівняється **$\nu = 1 \cdot 10^{-6} \text{ м}^2/\text{с}$** .